

## عملکرد آبی سریزهای شیب دار تورسنگی در شرایط جریان آزاد

مهرداد خیرایی<sup>۱\*</sup>، منوچهر فتحی مقدم<sup>۲</sup>

### چکیده

برخلاف سریزهای معمولی نفوذناپذیر، مواد فیزیکی و شیمیایی از درون سریزهای تورسنگی به پایین‌دست عبور می‌کنند؛ بنابراین سریزهای تورسنگی سازه‌هایی با کمترین اثرات منفی بر محیط زیست بوده و به سازه‌های دوست‌دار محیط‌زیست معروفند. هدف از این تحقیق بررسی تأثیر تغییرات شیب بالادست و پایین‌دست بر ضریب آبگذری جریان در سریزهای شیب دار تورسنگی با شرایط جریان آزاد، و مقایسه با سریزهای شیب دار نفوذناپذیر می‌باشد. در ابتدا، پس از شناسایی فراسنجهای مؤثر، رابطه‌ی عمومی بدون بعد توسعه داده است. برای این منظور، ۸ نمونه‌ی مختلف سریز تورسنگی و ۳ نمونه‌ی سریز نفوذناپذیر در یک نهر پایدار آزمایشگاهی افقی به طول، عرض و ارتفاع به ترتیب  $15 \times 0.3 \times 0.5$  متر مورد بررسی قرار گرفت. آزمایشها برای دامنه‌ی وسیعی از بدء، عمق بالادست، عمق پایین‌دست، اندازه‌ی مصالح، شیب بالادست و شیب پایین‌دست انجام گرفتند. نتایج نشان دادند که در شرایط جریان آزاد، با افزایش زاویه‌ی بالادست و پایین‌دست سریز با راستای عمود، بار آبی روی سریز افزایش و ضریب بده کاهش می‌یابد. همچنین، با افزایش اندازه‌ی مصالح، بار آبی روی سریز کاهش و ضریب بده افزایش می‌یابد. سرانجام، با توجه به تحلیل ابعادی صورت گرفته، رابطه‌ای برای تخمین ضریب بده در سریز شیب دار تورسنگی با همبستگی بالای ۰/۹۷ ارائه شده است.

**واژه‌های کلیدی:** ضریب بده، سریز شیب دار، تورسنگ، جریان آزاد، نمونه‌ی فیزیکی

<sup>۱</sup> دانشجوی کارشناسی ارشد سازه‌های آبی دانشگاه شهید چمران اهواز، mehrrdadkheiraey@gmail.com

<sup>۲</sup> استاد گروه سازه‌های آبی دانشگاه شهید چمران اهواز

لبه پهن انجام داده اند. نتایج آنها نشان داده اند که افزایش شیب بالادست باعث کاهش ارتفاع نیم رخ سطح آب، بنابراین کاهش فشار پایای تاج، و درنتیجه کاهش ضریب بدهی جریان می باشد. بیشتر مطالعات قبلی در مورد سرریزهای تورسنگی در شرایطی انجام شده که عمق جریان در بالادست سرریز کمتر از ارتفاع سرریز می باشد. کلز (۱۹۹۳) جریان متغیر تدریجی را از روی بند سنگریزهای برای دو شرایط جریان مختلف شامل ریزش جزیی و کامل از روی بند مورد مطالعه قرار داد. نتایج نامبرده نشان داد که نسبت گذر جریان از داخل بند سنگریزهای به گذر جریان از روی آن در محدوده  $0/25$  تا  $5/0$  می باشد. میچیکو و همکاران (۲۰۰۵) آب پویایی یک پشتہ ی قله سنگی را به صورت نظری و آزمایشگاهی مورد مطالعه قرار داده و با انجام تحلیلی یک بعدی در مورد جریان یکنواخت دائمی از میان سرریز توصیف کردند که بده تابع فراسنجهای مانند عمق جریان در بالادست و پایین دست سرریز، تخلخل، قطر ذرات پشتہ سنگریزهای طول سرریز می باشد. میچیکو و همکاران (۲۰۰۷) مطالعاتی آزمایشگاهی را در زمینه ی جریان بر روی سرریزها و آبشکنها ساخته اند. یافته های آنها نشان دادند که تغییرات جرم و اندازه حرکت بین جریان اصلی و جریان در محیط متخلخل اطراف زوایای بالادست و پایین دست سرریز و آبشکن غالب بوده، و همچنین خطوط جریان به سرعت منقبض می شدند. لشو و همکاران (۲۰۰۸) جریان آشفته را در اطراف یک پشتہ سنگریزهای در کف یک نهر پایه دار با جریان آزاد موردمطالعه قرار دادند. آنها ۳ نمونه با تخلخلهای  $0/49$ ،  $0/547$  و  $0/804$  درصد را موردمطالعه قرار داده و نشان دادند که برای سازه های متخلخل ناحیه ی چرخش در جهت پایین دست، به دلیل عبور جریان از درون سرریز طولانی تر می شود. چانسن (۲۰۰۶) اشاره کرد که اندر کنش بین جریان نشی (از داخل سرریز) و روی سرریز کمتر مطالعات آینده می باشد. از جمله ی مطالعات ارزنده برای مطالعات آینده می باشد. از جمله ی مطالعات اخیر در زمینه ی جریان بر روی سرریز تورسنگی را به وسیله ی محمد (۲۰۱۰) می توان نام برد. در این مطالعه با انتخاب ۲ نمونه ی سرریز تورسنگی مستطیلی و ۲ نمونه ی سرریز بتی با همان هندسه برای مقایسه، به مطالعه عملکرد سرریز تورسنگی پرداخته شده و درنهایت

## مقدمه

سرریزها از جمله سازه های آبی مهم جهت مهار کردن جریان، تنظیم سطح آب و اندازه گیری بدهی جریان در نهرهای آبیاری و رودخانه ها می باشند. سرریزها را بر اساس ضخامت تاج آنها می توان به دو دسته ی کلی لبه تیز و ثابت مانند، سرریز لبه پهن، سرریز تاج دایره ای و سرریز شیب دار ... تقسیم کرد، (قمشی و امامقلی زاده ۱۳۸۷). از سرریزهای لبه تیز معمولاً برای اندازه گیری بده های کم در نهرهای روباز استفاده می شود. سرریزهای ثابت نسبت به سرریزهای لبه تیز مستحکمتر و مقاومتر بوده و از آنها برای اندازه گیری و تنظیم سطح آب در نهرها و رودخانه ها استفاده می گردد. یکی از انواع سرریزهای ثابت، سرریزهای کرامپ (شیب دار) می باشد. شیب بالادست سرریز شیب دار در جلوگیری از منطقه ی سکون آب، که در سرریز لبه پهن به وجود می آید مؤثر است. همچنین، این سرریزها می توانند استغراق زیادی را تحمل کنند و برای بدههای کم و زیاد قابل استفاده می باشند. معمولاً، این سرریزها از بتن ساخته شده و دارای بدنه ی نفوذناپذیر می باشند؛ اما امروزه سرریزهای ساخته شده از توری سنگی به دلیل این که بهتر می تواند نیازهای طبیعی و محیط زیست را برطرف کنند، ترجیح داده می شوند. همچنین، از نظر کیفیت آب، مواد فیزیکی و شیمیایی مانند مواد معلق و آلی به حالت تعليق درآمده، از طریق بدنه ی نفوذناپذیر به پایین دست منتقل گردیده و ته نشسته های انباسته شده در پشت سرریز به حداقل می رسد. ممکن است باکتریهای موجود در سطح مصالح سنگی باعث تجزیه ی مواد آلی شود این واکنش زیست شیمیایی و همچنین هوادهی ناشی از تلاطم عبور جریان از بین مصالح سنگی سرریز، که باعث تجزیه ی هوایی مواد آلی می گردد، عاملی برای خودپالایی و تصفیه و حذف بوی بد فاضلاب می باشند. با این تفاسیر، چنین سازه ها علاوه بر سازگاری با بوم نظام و محیط زیست، دارای اثرات مثبت بر آنها می باشند.

تاکنون مطالعات زیادی در زمینه ی خصوصیات جریان با انواع مختلف هندسه و رودی سرریز لبه پهن انجام شده است؛ از جمله گاگس و همکاران (۲۰۰۶)، هاگر و اسکوت (۱۹۹۴)، انسار و گونزالس - کاسترو (۲۰۰۳)، لی و گارگه (۱۹۹۸)، سارجیسون و پرسی (۲۰۰۹) مطالعاتی را در زمینه ی اثر شیبهای بالادست و پایین دست سرریز

استفاده از روش تحلیل ابعادی و استفاده از روش  $\Pi$  باکینگهام، فراسنجهای بدون بعد مهم این تحقیق برای نمونه‌ی شاهد (نفوذناپذیر با استفاده از پلگسی‌گلاس) و نمونه‌های تورسنگی به ترتیب به صورت روابط ۲ و ۳ استخراج شده‌اند:

$$C_D = f\left(\frac{h}{L_w}, We, Re, \alpha, \beta\right) \quad (2)$$

$$C_D = f\left(\frac{h}{L_w}, \frac{d_m}{P}, We, Re, \alpha, \beta\right) \quad (3)$$

که آنها  $We$  عدد وبر، و  $Re$  عدد رینولدز جریان در بالادست سرریز ( محل اندازه‌گیری  $h$  ) می‌باشند. در این تحقیق با توجه به این که عمق جریان روی سرریزبیشتر از ۴ سانتی متر می‌باشد، از عدد وبر صرف نظر شده است. همچنین با توجه به این که جریان در بالادست سرریز متلاطم می‌باشد، از عدد رینولدز صرف نظر شده است.

#### ب) مدل فیزیکی

آزمایش‌های این تحقیق در یک نهر پایه دار افقی به طول، عرض و ارتفاع به ترتیب  $15 \times 0.03 \times 0.05$  متر در آزمایشگاه نمونه‌های فیزیکی و هیدرولیکی دانشکده مهندسی علوم آب دانشگاه شهید چمران اهواز انجام شد. برای اندازه‌گیری بده از بدنه‌سنج مافوق صوت مستقر بر روی لوله‌ی ورودی تلمبه، و بهمنظور قرائت ارتفاع سطح آب در قسمتهای موردنیاز از عمق یاب مستقر روی نهرپایه دار استفاده گردید. همچنین به منظور بررسی تغییرات نیمرخ سطح آب در آزمایش‌های مختلف، از دوربین عکاسی استفاده شده. سپس با استفاده از نرم‌افزار digitizer نیمرخ سطح آب و تغییرات بار آبی بالادست سرریز از روی عکسها استخراج شده‌اند. در مطالعه‌ی حاضر ۳ نمونه‌ی سرریز شیب دار نفوذناپذیر از جنس پلگسی‌گلاس متناظر با سرریز تورسنگی، بهمنظور مقایسه‌ی نتایج و ۸ نمونه‌ی سرریز شیب دار تورسنگی ساخته شده است. شکل (۲) و (۳) به ترتیب نمونه‌های سرریز شیب دار نفوذناپذیر و سرریزهای شیب دار تورسنگی استفاده شده در آزمایشها را نشان می‌دهند؛ همچنین، اطلاعات هندسی و نام اختصاری مربوط به نمونه‌های ساخته شده در جدول (۱) ارائه گردیده‌اند. نکته‌ی قابل

روابطی برای پیش‌بینی بدهی این سرریز در شرایط آزاد و مستغرق ارائه شد.

هدف از این تحقیق بررسی عملکرد آبی سرریز شیب دار تورسنگی در شرایط مختلف شیبهای بالادست، پایین دست، ترکیب بالادست و پایین دست، و همچنین مصالح با دانه‌بندی مختلف می‌باشد. در این تحقیق، با بسط فراسنجهای مختلف و استفاده از تحلیل ابعادی، و همچنین استفاده از وایازی غیرخطی، روابطی برای ضریب بده در شرایط جریان آزاد ارائه شده است.

#### مواد و روشها

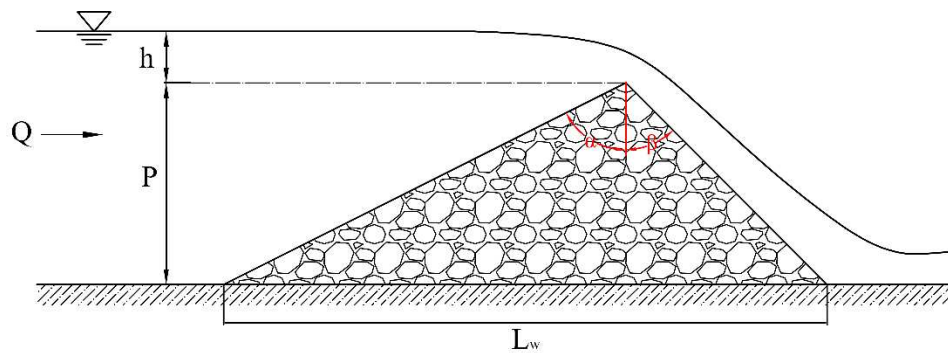
##### الف) تحلیل ابعادی

به منظور دست‌یابی به اهداف این تحقیق، ابتدا به شناخت فراسنجهای متعددی که بر هیدرولیک جریان سرریز شیب دار تورسنگی مؤثر می‌باشند اقدام نموده، و با تحلیل ابعادی، رابطه‌ای کلی شامل فراسنجهای بدون بعد استخراج شده است. فراسنجهای مؤثر در این آزمایشها در رابطه‌ی (۱) ارائه گردیده. همچنین، طرح واره و فراسنجهای هندسی و آبی در این نوع سرریز در شکل (۱) نمایش داده شده است.

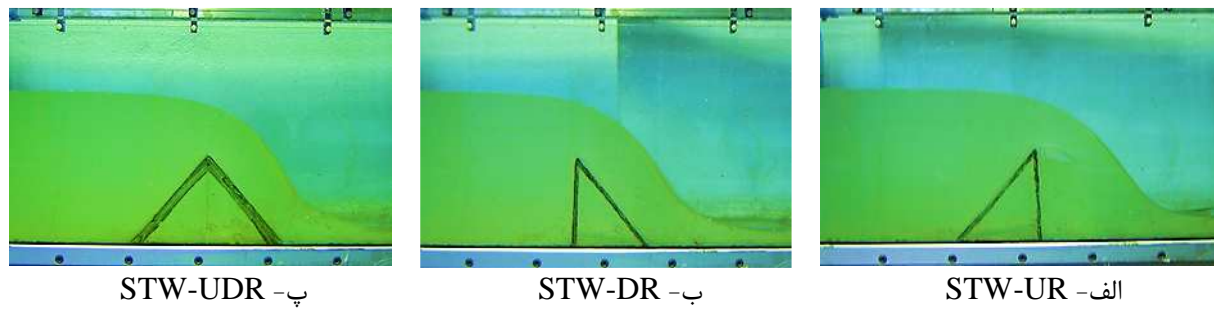
$$f(h, L_w, P, Q, g, \sigma, \rho, \mu, C_D, d_m, \alpha, \beta) = 0 \quad (1)$$

در این رابطه  $h$  بار آبی روی سرریز،  $L_w$  طول کف سرریز در جهت جریان،  $P$  ارتفاع سرریز،  $Q$  بده جریان،  $g$  شتاب گرانش،  $\sigma$  کشش سطحی،  $\rho$  جرم واحد حجم مایع،  $\mu$  لزجت پویایی،  $C_D$  ضریب بدهی سرریز،  $d_m$  قطر متوسط معرف مصالح سنگی مورد استفاده در این تحقیق،  $\alpha$  زاویه‌ی بالادست سرریز با راستای عمودی و  $\beta$  زاویه‌ی پایین دست سرریز با راستای عمودی می‌باشند. (لازم به ذکر است که در این تحقیق به جای استفاده از عبارت زاویه‌ی بالادست سرریز با راستای عمودی از عبارت زاویه‌ی زاویه‌ی پایین دست سرریز با راستای عمودی از عبارت زاویه‌ی پایین دست استفاده شود).

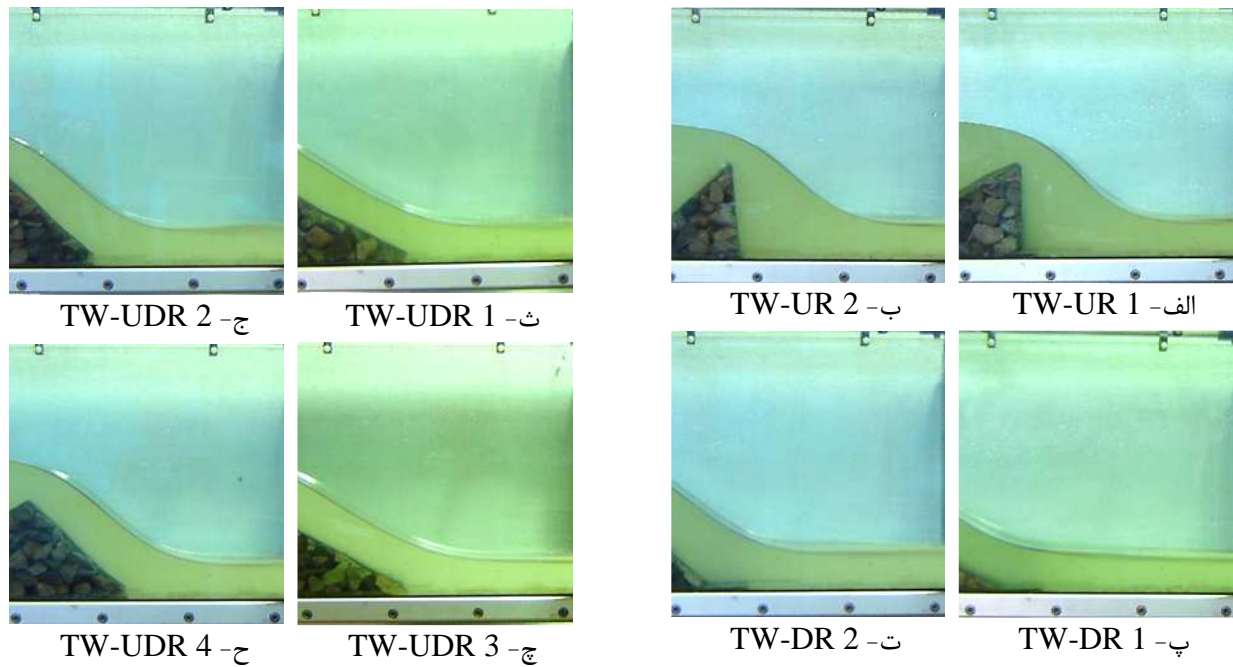
با توجه به این که در تحقیق حاضر از مصالح با دانه‌بندی تقریباً یکنواخت استفاده شده، بنابراین تنها قطر متوسط مصالح در تحلیل ابعادی مورد توجه قرار گرفته است. در ادامه، با توجه به مطالعات پیشین در این زمینه، و



شکل ۱- طرح واره سرربز تورسنجی شیب دار و فراسنجهای هندسی و آبی.



شکل ۲- نمونه‌های نفوذناپذیر استفاده شده در آزمایشها.



شکل ۳- نمونه‌های تورسنجی استفاده شده در آزمایشها.

جدول ۱- مشخصات و نام اختصاری سرریزهای شیب دار مورد استفاده در این تحقیق.

ردیف	نام نمونه سرریز شیب دار	نام اختصاری	P	$\alpha$	$\beta$
۱	سرریز تورسنگی با شیب بالادست ۱	TW-UR-1	۱۶cm	۶۰°	۰°
۲	سرریز تورسنگی با شیب بالادست ۲	TW-UR-2	۱۶cm	۴۵°	۰°
۳	سرریز تورسنگی با شیب پایین دست ۱	TW-DR-1	۱۶cm	۰°	۶۰°
۴	سرریز تورسنگی با شیب پایین دست ۲	TW-DR-2	۱۶cm	۰°	۴۵°
۵	سرریز تورسنگی با شیب ترکیبی ۱	TW-UDR-1	۱۶cm	۶۰°	۶۰°
۶	سرریز تورسنگی با شیب ترکیبی ۲	TW-UDR-2	۱۶cm	۴۵°	۴۵°
۷	سرریز تورسنگی با شیب ترکیبی ۳	TW-UDR-3	۱۶cm	۶۰°	۴۵°
۸	سرریز تورسنگی با شیب ترکیبی ۴	TW-UDR-4	۱۶cm	۴۵°	۶۰°
۹	سرریز نفوذناپذیر با شیب بالادست	TW-UR	۱۶cm	۴۵°	۰°
۱۰	سرریز نفوذناپذیر با شیب پایین دست	STW-DR	۱۶cm	۰°	۴۵°
۱۱	سرریز نفوذناپذیر با شیب ترکیبی	STW-UDR	۱۶cm	۴۵°	۴۵°

آزمایش واقع شده و در مجموع ۴۴۵ آزمایش انجام و مورد تجزیه و تحلیل قرار گرفته اند. روابط مختلفی برای بدھی سرریزها وجود دارد. در این تحقیق، رابطه‌ی (۴) مبنای محاسبه‌ی بدھی عبوری از سرریزها قرار گرفته است:

$$Q = \frac{2}{3} C_d B \sqrt{2g} H^{1.5} \quad (4)$$

که در آن  $B$  عرض نهرپایه دار و  $H$  بار آبی کل شامل بار پایا و بار سرعت می‌باشد، که  $H$  به صورت  $H = v^2/2g + h$  تعريف می‌شود.

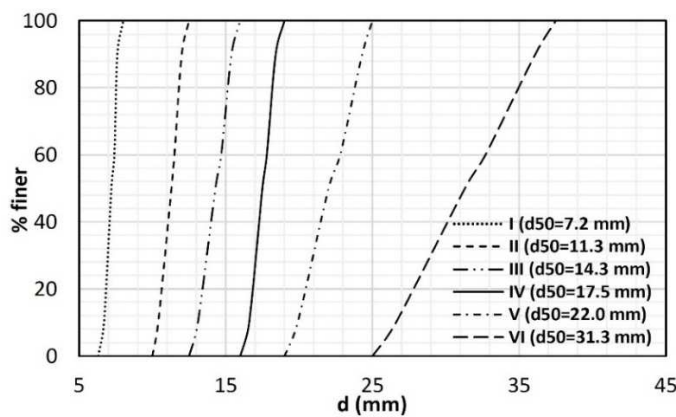
### نتایج و بحث

#### (الف) بررسی اثر هندسه سرریز و اندازه مصالح بر ضریب بدھ

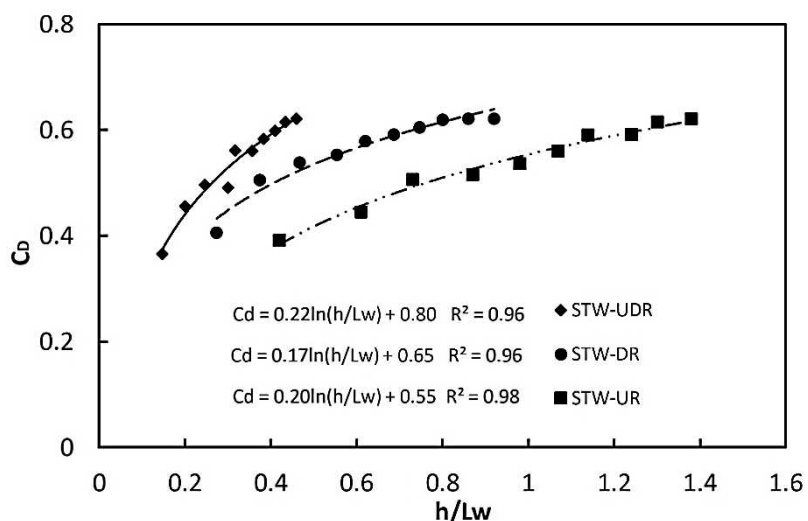
در شکل (۵) نتایج سرریزهای نفوذناپذیر ارائه شده اند. بطور کلی در این نمونه‌ها در محدوده‌ی مورد آزمایش، سرریز با ترکیب شیب بالادست و پایین دست، دارای بیشترین ضریب بدھ، و سرریز با شیب بالادست دارای کمترین ضریب بدھ است. جهت بررسی اثر تغییر اندازه مصالح بر ضریب بدھ در همه‌ی نمونه‌های تورسنگی،

رسم نتایج با

ذکر این که برای سرریز شیب دار (مثلثی) از اختصار T استفاده شده است. برای ساخت سرریزهای تورسنگی، در ابتدا چارچوب نمونه از میله‌های فلزی با قطر ۴ میلی‌متر ساخته شده و سپس با استفاده از یک تور فولادی که اندازه شبکه‌های آن کوچکتر از حداقل اندازه‌ی مصالح سنگی مورد استفاده بود، نمونه‌های مختلف سرریز تورسنگی ساخته شد. در این تحقیق سرریزها بر روی یک صفحه فلزی به ضخامت ۱ سانتی‌متر به منظور اتصال مدل‌های ساخته شده به کف نهرپایه دار، و همچنین پایداری آنها هنگام آزمایش قرار داده شدند. مصالح سنگی مورد استفاده در سرریزهای شیب دار تورسنگی شامل ۶ اندازه‌ی مختلف با قطر تقریباً یکنواخت و تیز گوشه در محدوده‌ی  $7/2$  تا  $31/3$  میلی‌متر، با تخلخل  $51/1$  درصد برای مصالح با قطر متوسط  $7/2$  میلی‌متر، تا تخلخل حدود  $43$  درصد برای مصالح با قطر متوسط  $31/3$  میلی‌متر می‌باشند. همچنین، در شکل (۴) منحنی دانه‌بندی مصالح مورد استفاده در نمونه‌های تورسنگی نمایش داده شده است. همان‌طور که در منحنی‌های دانه‌بندی مشخص است، مصالح استفاده شده در این تحقیق جز در زبری شماره  $31/3$  میلی‌متر، دارای دانه‌بندی تقریباً یکنواخت می‌باشند. نمونه‌های مختلف سرریز در بدھ‌های مختلف بین ۳۰ تا ۳ لیتر بر ثانیه مورد



شکل ۴- نمودار دانه‌بندی تجمعی مصالح مورد استفاده در این تحقیق.

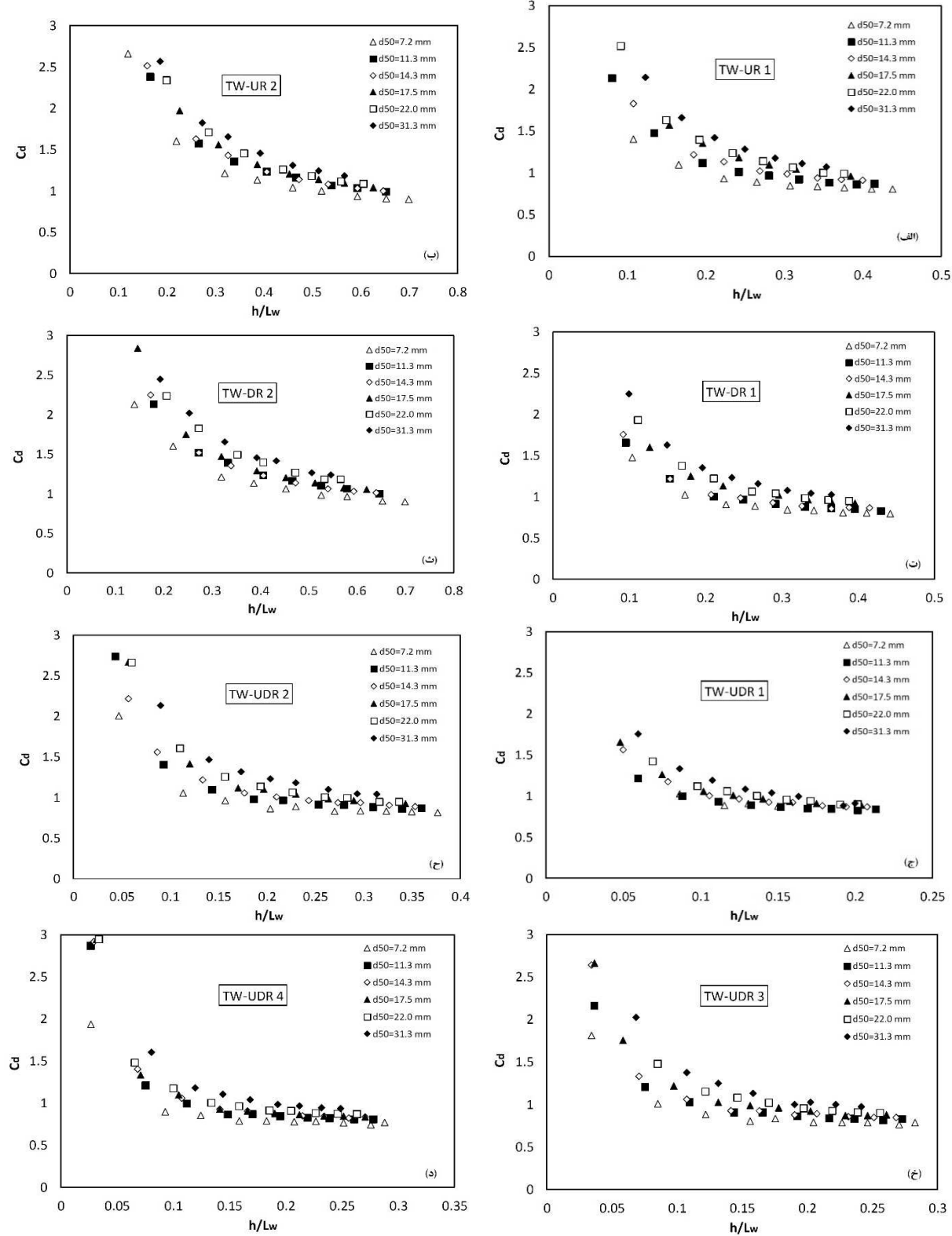
شکل ۵- مقایسه ضریب بدء با نسبت  $h/L_w$  در سرریزهای نفوذناپذیر

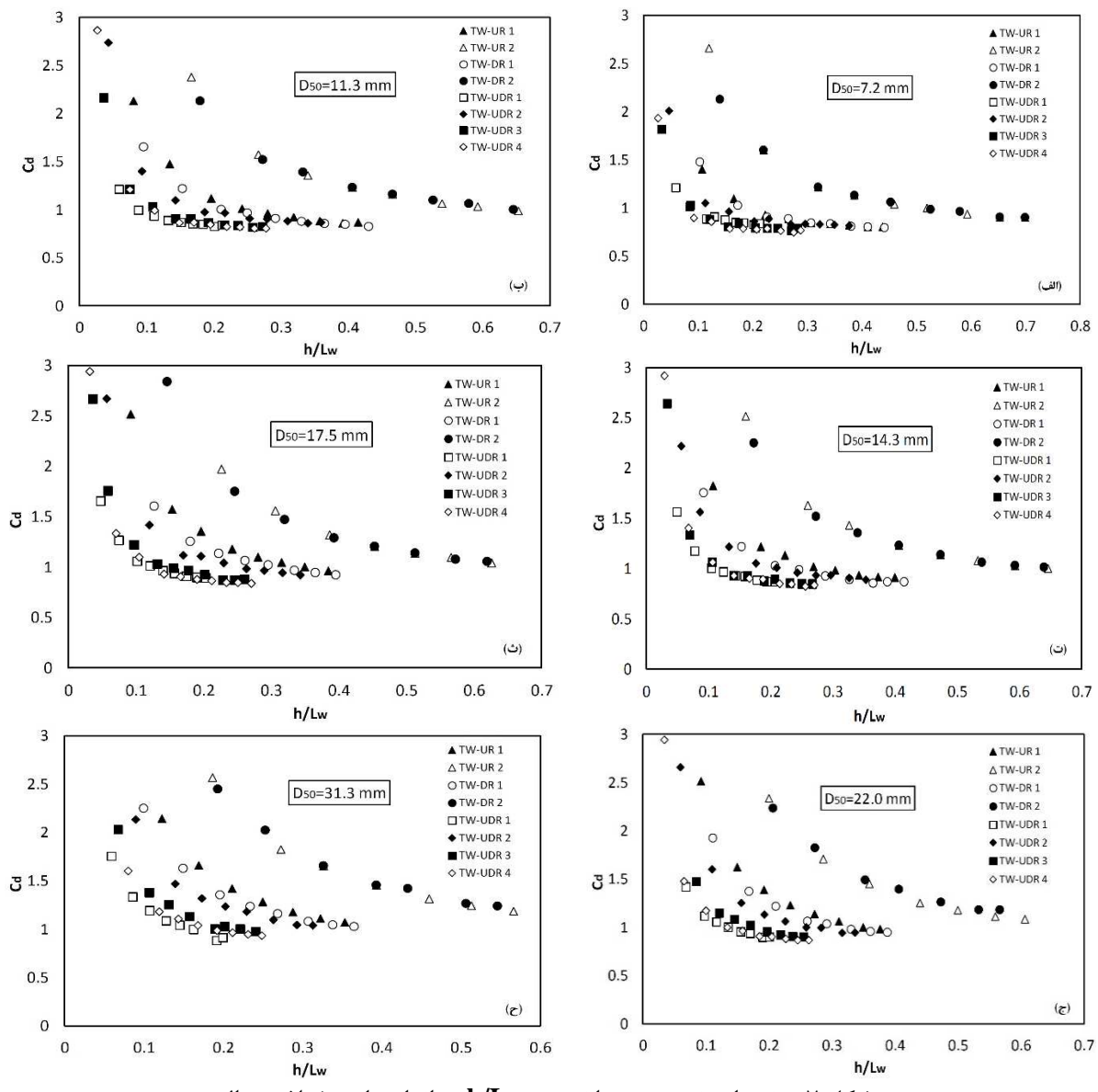
ضریب بدء در نمونه‌های تورسنگی با افزایش نسبت  $h/L_w$  در ابتدا با نرخ زیادی کاهشی بوده، سپس با افزایش بدءی جریان با توجه به این‌که نسبت بدءی جریان روگذر و جریان عبوری از داخل سرریز افزایش می‌یابد، ضریب بدء با نرخ کمتری کاهش یافته، و در مصالح با دانه‌بندی مختلف به هم نزدیک می‌شود.

جهت بررسی اثر تغییر شیب بالا دست، پایین دست و ترکیب بالا دست و پایین دست بر ضریب بدء، نتایج با رسم نمودارهای شکل (۷) نمایش داده شده‌اند. در این شکلها تغییرات ضریب بدءی ( $C_D$ ) محاسبه گردیده نسبت به

نمودارهای شکل (۶) نمایش داده شده‌اند. نمودارهای شکل (۶) تغییرات ضریب بدء ( $C_D$ ) محاسبه شده از رابطه‌ی (۴) را با نسبت  $h/L_w$  در نمونه‌های تورسنگی و  $d_{50}$  (اندازه‌ی متوسط مصالح سنگی) مختلف و نمونه‌های نفوذناپذیر نشان می‌دهند. نتایج بر آنند که در تمامی نمونه‌های تورسنگی، ضریب بدء همواره بیشتر از ضریب بدءی نمونه‌های نفوذناپذیر بوده، و با افزایش اندازه‌ی مصالح ضریب بدء افزایش می‌یابد. افزایش ضریب بدء در مصالح درشت‌دانه می‌تواند ناشی از کاهش افت گذر جریان از بین مصالح و بزرگ شدن لوله‌های جریان درون سرریز تورسنگی باشد. همچنین، بطورکلی،

## نشان داده شده اند. نتایج نشان می

در نمونه های تورسنجی مختلف و در  $d_{50}$  یکسان  $h/L_w$ شکل ۶- تغییرات ضریب بدء با نسبت  $h/L_w$  در نمونه های مختلف هندسی.

شکل ۷- تغییرات ضریب بده با نسبت  $h/Lw$  در اندازه‌های مختلف مصالح.

بهذ افزایش می‌یابد. همچنین، با مقایسهٔ ضریب بده در سه نمونهٔ TW-DR 2، TW-UDR 3 و TW-UDR 2، زاویهٔ دارای زاویهٔ پایین‌دست برابر با ۴۵ درجه و زاویهٔ بالا دست به ترتیب ۶۰ و ۴۵ و صفر درجه می‌باشد، مشاهده می‌شود که با ثابت ماندن زاویهٔ پایین‌دست و کاهش زاویهٔ بالا دست به صفر، ضریب بده افزایش می‌یابد. در واقع، با افزایش زاویهٔ بالا دست و پایین‌دست، طول مسیر گذر جریان بیشتر شده و در نتیجه جریان گذری از سرربز کاهش می‌یابد.

دهند که دو نمونهٔ TW-UR 2 و TW-DR 4 دارای بیشترین ضریب بده، و نمونهٔ TW-UDR 4 دارای کمترین ضریب بده می‌باشد. با مقایسهٔ ضریب بده در سه نمونهٔ TW-UDR 2، TW-UDR 4 و TW-UR 2، که دارای زاویهٔ بالا دست برابر با ۴۵ درجه و زاویهٔ پایین‌دست به ترتیب ۶۰ و ۴۵ و صفر درجه می‌باشد، مشاهده می‌شود که با ثابت ماندن زاویهٔ بالا دست و کاهش زاویهٔ پایین‌دست به صفر، ضریب

جهت بررسی اثر تغییر اندازه‌ی مصالح بر بار آبی روی سرریز، در شکل (۱۰) نیمرخ سطح آب در دو نمونه‌ی TW-UDR 2 و STU-UDR 2 ثانیه و مصالح با دانه‌بندی مختلف نمایش داده شده است. نتایج نشان می‌دهند که بیشترین بار آبی مربوط به مصالح با اندازه‌ی  $7/2$  میلی‌متر، و کمترین بار آبی مربوط به مصالح با اندازه‌ی  $31/3$  میلی‌متر می‌باشد. به عبارت دیگر با افزایش اندازه‌ی مصالح بر بار آبی روی سرریز کاهش پیدا می‌کند. همچنین، با مقایسه‌ی نیمرخ سطح آب در دو نمونه‌ی TW-UDR 2 بار آبی روی سرریز نفوذناپذیر بیشتر از سرریز گاییونی می‌باشد. بطور کلی، ماهیت جریان روی سرریز تورسنگی با جریان روی سرریز نفوذناپذیر متفاوت است، چون بخشی از جریان از رو، و بخشی از درون سرریز عبور می‌کند.

جهت بررسی اثر تغییر شیب بالادست، پایین‌دست، و ترکیب بالادست و پایین‌دست بر بار آبی روی سرریز، نتایج با رسم نمودارهای شکل (۱۱) نمایش داده شده‌اند. نمودارهای شکل (۱۱) نیمرخ سطح آب را در همه نمونه‌های تورسنگی برای مصالح با اندازه‌های  $11/3$  و  $31/3$  میلی‌متر، و در بدءی  $30$  لیتر بر ثانیه، نمایش می‌دهند. مطابق شکل دو نمونه‌ی TW-DR 2 و TW-UR 2 و TW-UDR 2 دارای کمترین بار آبی، و نمونه‌ی TW-UDR-1 دارای بیشترین بار آبی می‌باشند. با مقایسه‌ی نیمرخ سطح آب در سه نمونه‌ی TW-UDR 2، TW-UDR 4 و TW-UR 2 که دارای زاویه‌ی بالادست برابر با  $45$  درجه، وزاویه‌ی پایین‌دست به ترتیب  $40$  و  $45$  و صفر درجه می‌باشند، مشاهده می‌شود که با ثابت ماندن زاویه‌ی بالادست و افزایش زاویه‌ی پایین‌دست، بار آبی روی سرریز افزایش می‌یابد. همچنین با مقایسه‌ی نیمرخ TW-UDR سطح آب در سه نمونه‌ی TW-UDR 3، TW-DR 2 و TW-UR 2 که دارای زاویه‌ی پایین‌دست برابر با  $45$  درجه، و زاویه‌ی بالادست به ترتیب  $40$  و  $45$  و صفر درجه می‌باشند، مشاهده می‌شود که با ثابت ماندن زاویه‌ی پایین‌دست و افزایش زاویه‌ی بالادست، بار آبی روی سرریز افزایش می‌یابد.

### (ب) استخراج رابطه‌ی پیش‌بینی ضریب بدء

در ادامه با توجه به تحلیل ابعادی صورت گرفته به منظور بررسی اثر متقابل فراسنجهای بی‌بعد مؤثر استخراج گردیده بر روی مقدار ضریب بدء و ارائه‌ی یک رابطه‌ی ریاضی برای پیش‌بینی این مقادیر، از وایازی غیرخطی استفاده شده است و در نهایت، روابط (۵) تا (۹) پس از تحلیلهای متعدد استخراج گردید. در این روابط، به صورت گام به گام، ضریب بدء در ابتدا نسبت به فراسنج بدون بعد  $h/L_w$  مورد بررسی قرار گرفته، و شکل کلی رابطه‌ی (۵) برای آنها دارای همبستگی بالاتری می‌باشد. در ادامه، ضرایب این رابطه تابعی از دیگر فراسنجهای بدون بعد مستقل تعریف شده است (رابطه‌ی (۶)) سپس ضرایب ثابت این رابطه ابتدا نسبت به فراسنج بدون بعد  $dm/P$  که معرف اندازه مصالح پرکننده تورسنگ، است دسته بندی شده (رابطه‌ی (۷)), در نهایت رابطه برای شیبهای مختلف دو طرف سرریز تحلیل شده (رابطه‌ی (۸)) و مطابق شکل (۸) (الف) تا (د) برای نمونه‌های مختلف ضرایب ثابت استخراج گردید. در این روابط  $f$ ,  $g$ ,  $\Gamma$ ,  $\zeta$ ,  $\Psi$  نماد توابع می‌باشند.

$$C_d = e^{(a_0 + a_1/(h/L_w))} \quad (5)$$

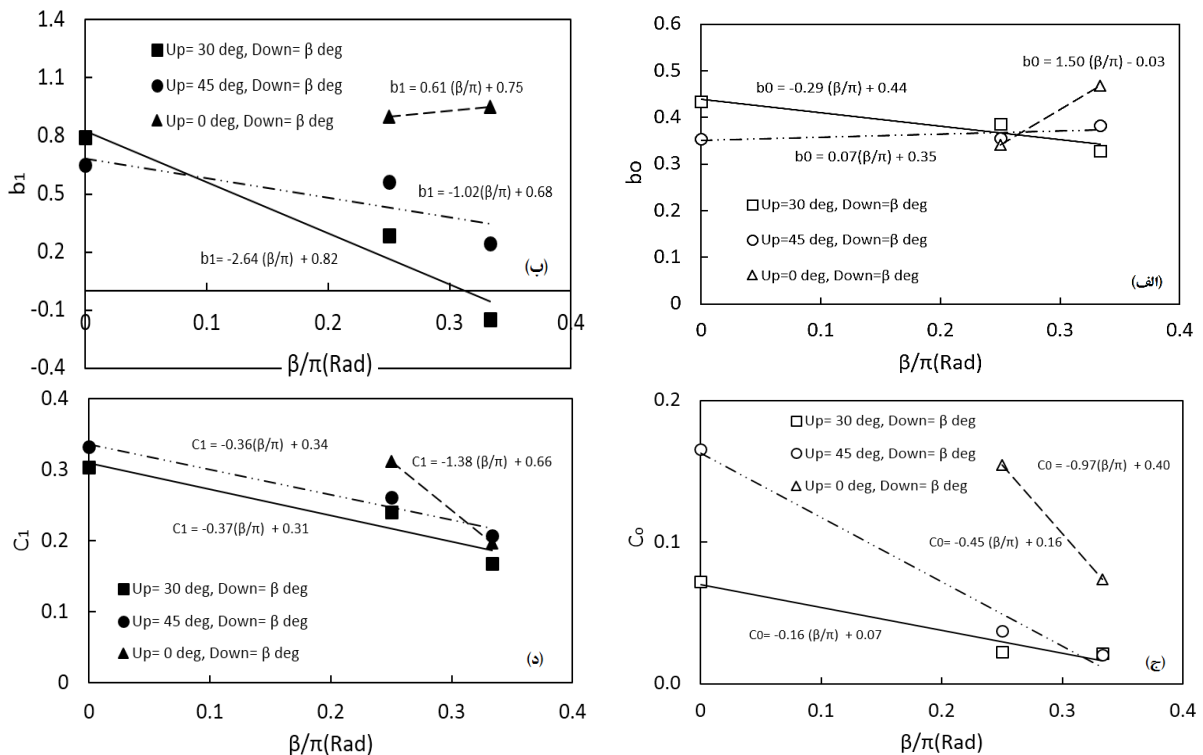
$$\begin{cases} a_0 = f(d_m/P, \alpha, \beta) \\ a_1 = g(d_m/P, \alpha, \beta) \end{cases} \quad (6)$$

$$\begin{cases} a_0 = b_0 - b_1(d_m/P) \\ a_1 = c_0 + c_1(d_m/P) \end{cases} \quad (7)$$

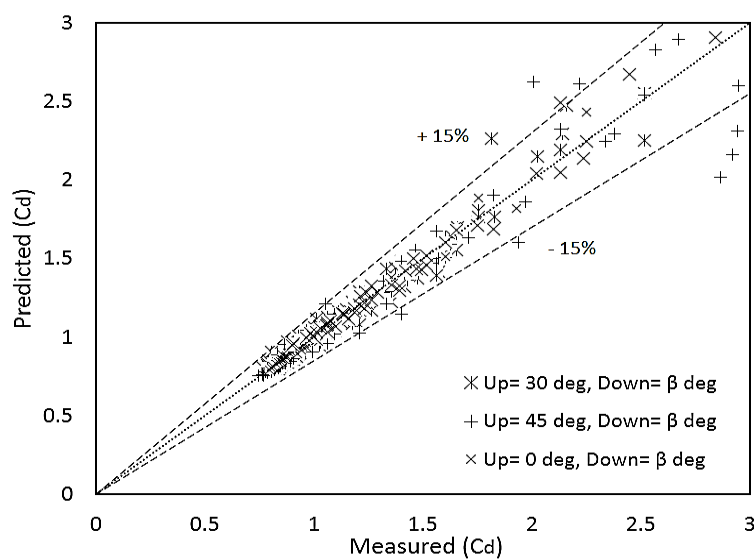
$$\begin{cases} b_0 = \phi(\alpha, \beta) \\ b_1 = \zeta(\alpha, \beta) \end{cases} \quad \text{and} \quad \begin{cases} c_0 = \Gamma(\alpha, \beta) \\ c_1 = \Psi(\alpha, \beta) \end{cases} \quad (8)$$

در شکل ۹ مقادیر ضریب بدءی محاسبه گردیده با استفاده از داده‌های آزمایشگاهی (محور افقی) و مقدار ضریب بدءی محاسبه شده از رابطه‌ی (۵) (محور قائم) مقایسه شده‌اند. پراکندگی نقاط نسبت به خط  $45$  درجه نشان می‌دهد که همبستگی مقادیر آزمایشگاهی و محاسباتی با استفاده از روش‌های آماری  $97$  درصد، و در سطح  $0.01$  معنی‌دار می‌باشد.

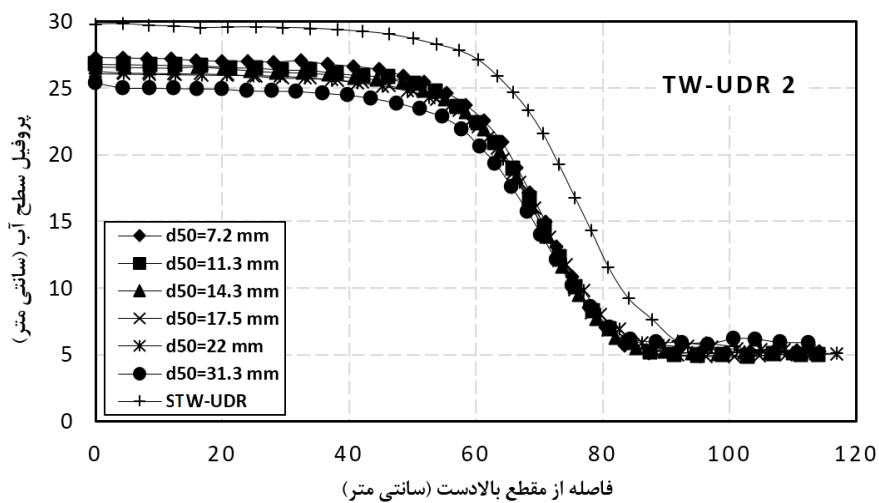
### (ج) بررسی تغییرات بار آبی روی سرریز



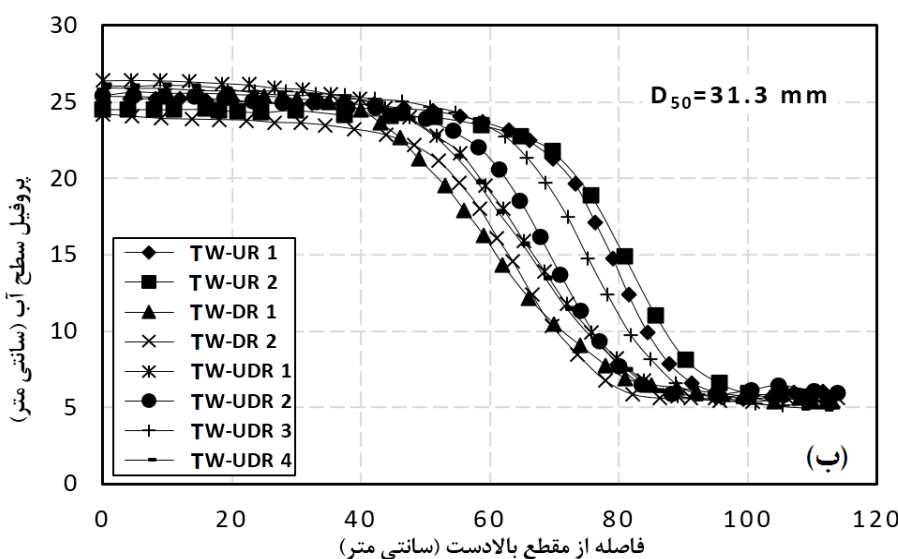
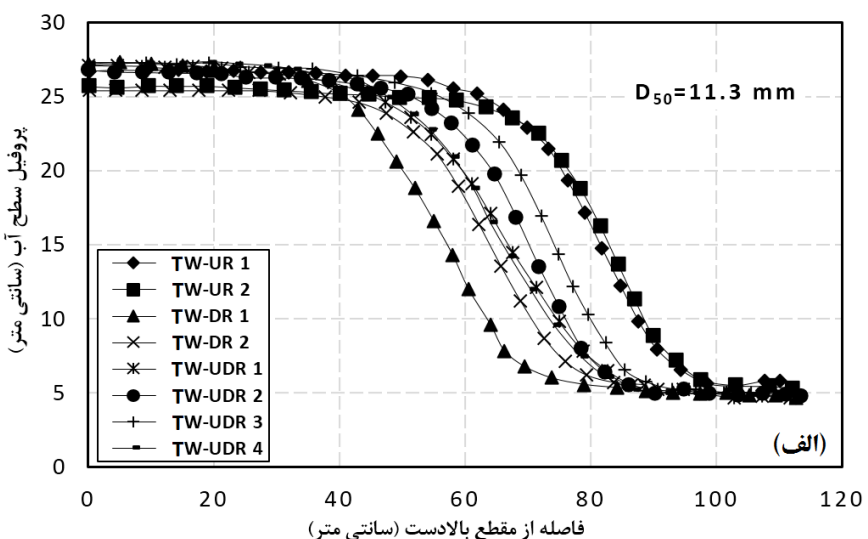
شکل ۸- تغییرات ضرایب ثابت رابطه ۷ در زوایای ثابت بالادست و متغیر پایین دست.



شکل ۹- مقایسه ضرایب بدده اندازه‌گیری و محاسبه شده از رابطه ۵.



شکل ۱۰- نیمرخ سطح آب در دو نمونه ۲ TW-UDR در مصالح با دانه‌بندی مختلف و STW-UDR



شکل ۱۱- نیمرخ سطح آب در همه نمونه‌های تورسنجی برای مصالح با اندازه‌های (الف) ۱۱/۳ و (ب) ۳۱/۳ میلی‌متر.

- 5) Hager, W. H., and Schwalt, M. 1994. Broad-crested weir. *J. Irrig. Drain. Eng.*, 120: 13–26.
- 6) Kells, J. A. 1993. Spatially varied flow over rock fill embankments. *Can. J. Civ. Eng.* 20: 820–827.
- 7) Kells, J. A. 1994. Reply on discussion of spatially varied flow over rock fill embankments. *Can. J. Civ. Eng.* 21: 163–166.
- 8) Lux, F., and Hinchliff, D.L. 1985. Design and Construction of Labyrinth Spillways .15<sup>th</sup> ICOLD Conference, Lausanne.
- 9) Leu, J. M., Chan, H. C., and Chu, M. S. 2008. Comparison of turbulent flow over solid and porous structures mounted on the bottom of a rectangular channel. *Flow Meas. Instrum.*, 19:1–7.
- 10) Li, B., and Garga, V. K. 1998. Theoretical solution for seepage flow in overtopped rock fill. *J. Hydraul. Eng.* 124: 213–217.
- 11) Michioku, K., Maeno, S., Furusawa, T., and Haneda, M. 2005. Discharge through a permeable rubble mound weir. *J. Hydr. Eng.* 131: 1–10.
- 12) Michioku, K., Takehara, K., and Etoh, T. 2007. An experimental study on flow field in and around rubble mound river structures. *J. Hydr. Eng.* 25: 37–45.
- 13) Mohamed, H.I. 2010. Flow over gabion weirs. *J. Irrig. Drain. Eng.* 136: 573–577.
- 14) Sargison, J. E., and Percy, A. 2009. Hydraulics of broad-crested weirs with varying side slopes. *J. Irrig. Drain.*, 135:115–118.

## نتیجه‌گیری

در این تحقیق به بررسی عملکرد آبی سرریز شیب دار تورسنجی در نمونه های مختلف هندسی و آبی پرداخته شده است. در مقایسه ای نمونه های تورسنجی با نمونه های نفوذناپذیر شاهد، ضریب بدی نمونه های تورسنجی همواره بیشتر از ضریب بدی نمونه نفوذناپذیر است. در نمونه های تورسنجی با افزایش اندازه مصالح، ضریب بدی افزایش یافته، و با افزایش نسبت  $h/Lw$  کاهش می‌یابد، این در حالی است که در نمونه های نفوذناپذیر ضریب بدی با افزایش نسبت  $h/Lw$  روندی افزایشی دارد. نتایج این تحقیق نشان می‌دهند که با افزایش زاویه ای پایین دست و بالادست سرریز با راستای عمود، ضریب بدی کاهش می‌یابد. همچنین، با افزایش بدی جریان ضرایب بدی در مصالح با اندازه مخالف و حتی نمونه ی شاهد به هم نزدیک می‌شوند. بررسی نیمرخ سطح آب نشان داد با افزایش اندازه مصالح بار آبی روی سرریز کاهش یافته و برای بدی یکسان بار آبی روی سرریز تورسنجی کمتر از سرریز نفوذناپذیر است. افزایش زاویه ای بالادست و پایین-دست سرریز با راستای عمود باعث افت بیشتر سرریز شده، و بار آبی روی سرریز افزایش می‌یابد. علاوه بر نتایج فوق، در این تحقیق با استفاده از وایازی غیرخطی، رابطه ای با همبستگی ۹۷ درصد جهت محاسبه میزان ضریب بدی سرریز شیب دار تورسنجی ارائه شده است.

## منابع

- 1) قمشی، م. امامقلی زاده، ص. ۱۳۸۷. مکانیک سیالات و هیدرولیک، چاپ اول، دانشگاه شهید چمران اهواز.
- 2) Ansar, M., and Gonzalez-Castro, J. A. 2003. Submerged weir flow at prototype gated spillways. Proc., World Water Congress, ASCE, Reston, Va.
- 3) Chanson, H. 2006. Discussion of discharge through a permeable rubble mound weir. *J. Hydraulic Eng.* 132:432–434.
- 4) Göğüş, M., Defne, Z., and Özkanemir, V. 2006. Broad-crested weirs with rectangular compound cross sections. *J. Irrig. Drain.*, 132:272–280.